

# Fundamentos e aplicações de RMN no estado sólido

---

**Jair C. C. Freitas**

Programa de Pós-graduação em Física – UFES

Programa de Pós-graduação em Química - UFES

# Sumário

## ■ Fundamentos de RMN:

- Relaxometria por RMN.

- Aplicações:

- Meios porosos.

- Petrofísica.

- Imagens.

- Alimentos.

# Distribuição de tempos de relaxação

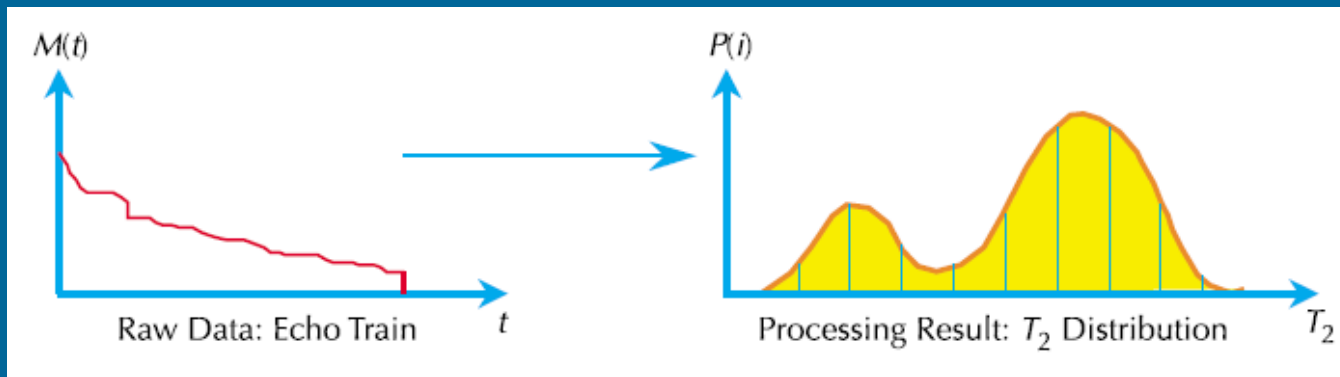
Transformada de Laplace Inversa (ILT):

$$M(t) = \sum_{k=1}^N A(T_{2k}) e^{-t/T_{2k}}$$

$$M(t) \xrightarrow{\text{ILT}} A(T_2)$$

Algoritmo de regularização: CONTIN

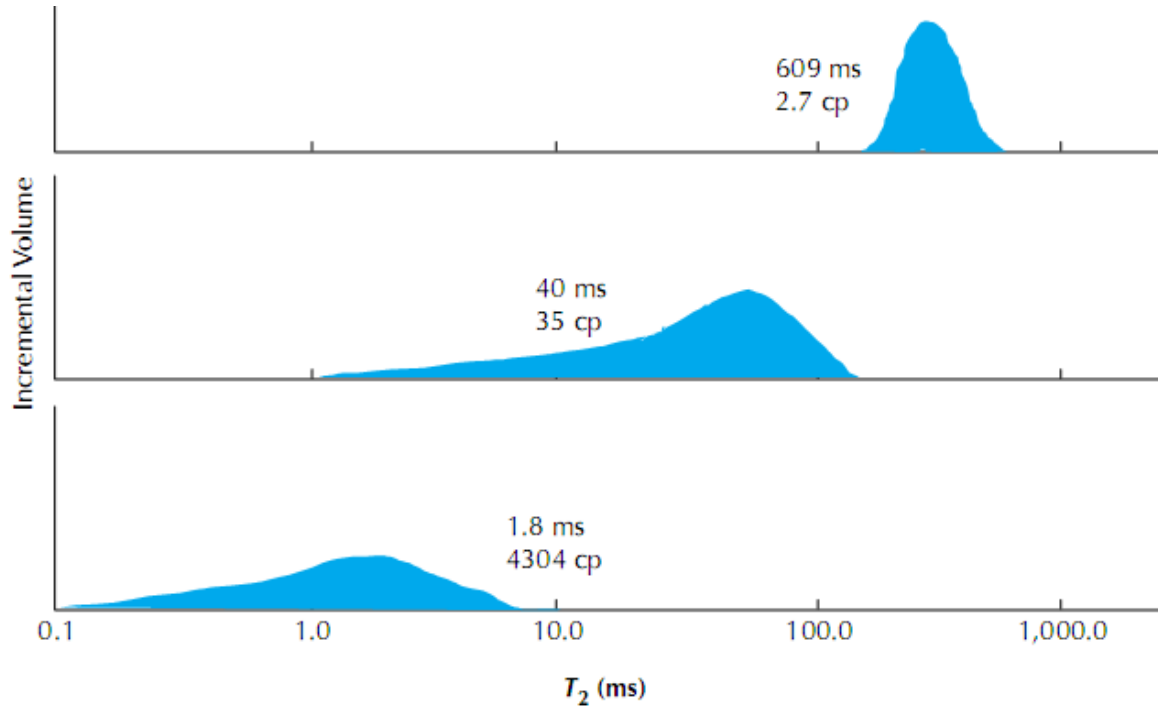
Aplicações: fluidos complexos (petróleo), meios porosos, alimentos, etc.



# Relaxometria por RMN de $^1\text{H}$

# NMR Logging Principles and Applications

George R. Coates, Lizhi Xiao, and Manfred G. Prammer

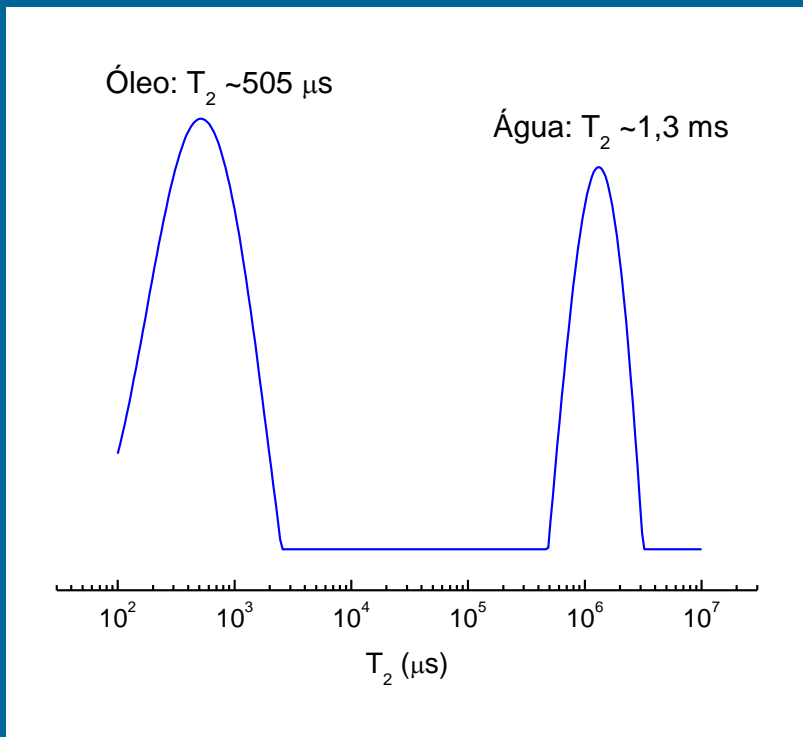


## Halliburton Energy Services

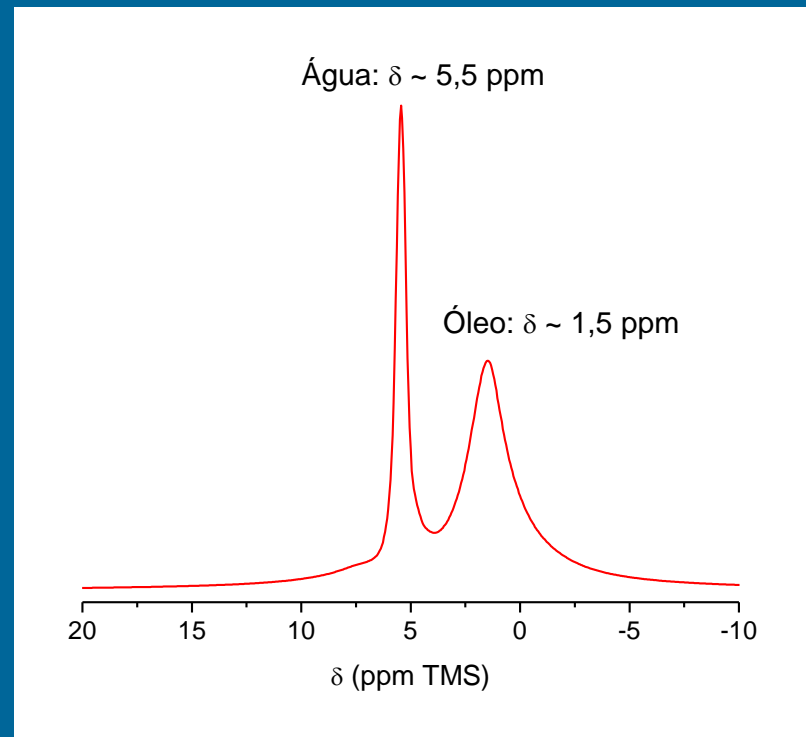
**Figure 4.1**—The  $T_2$  of crude oil varies with viscosity, as shown in these  $T_2$  distributions for three oil samples. For the light oil (top), which has a viscosity of 2.7 cp, the measured  $T_2$  values are clustered tightly about a single value, namely, 609 ms. For the medium-viscosity oil (middle), which has a viscosity of 35 cp, the measured  $T_2$  values form a broad distribution with a lower-end tail and a geometric mean of 40 ms. For a much heavier crude oil (bottom), which has a viscosity of 4304 cp, the measured  $T_2$  values also form a broad distribution with a lower-end tail but with a geometric mean of only 1.8 ms.

# RMN de $^1\text{H}$ em petróleo pesado

Relaxometria: 2,0 MHz



Espectroscopia: 400 MHz

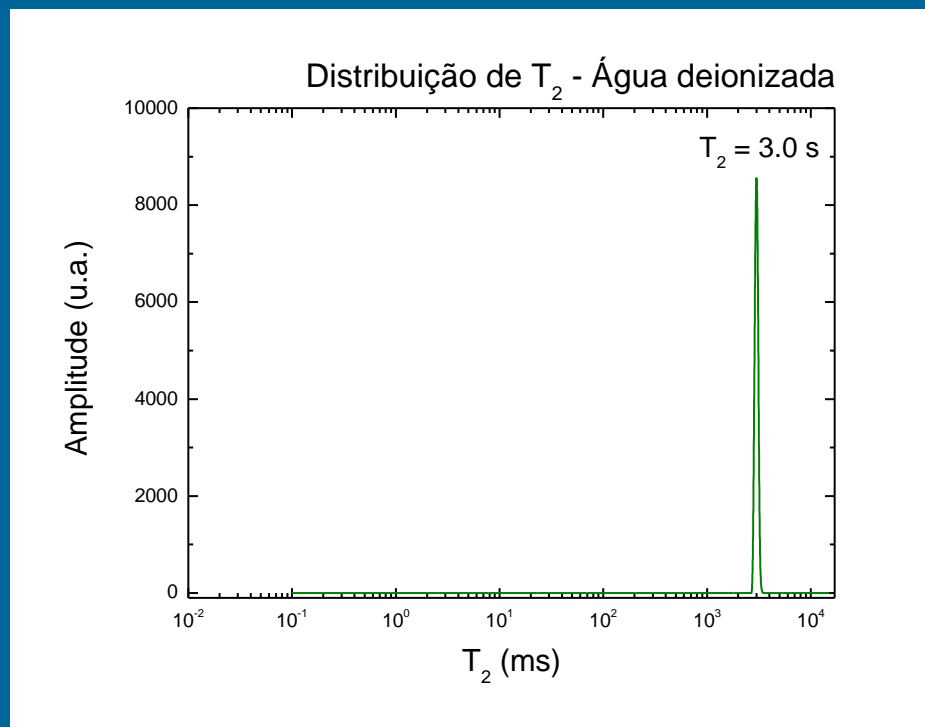
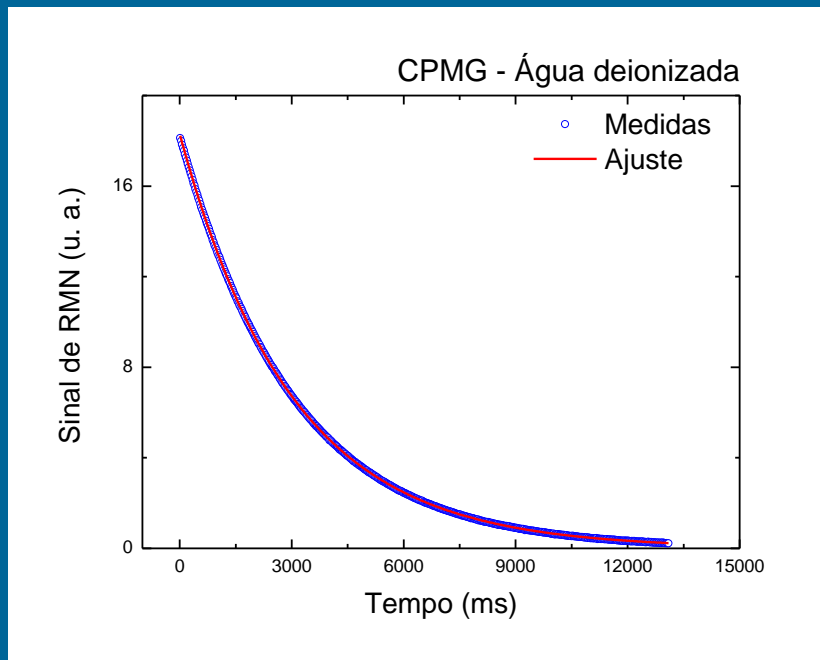


# Relaxometria por RMN de $^1\text{H}$

Aplicações em petrofísica:

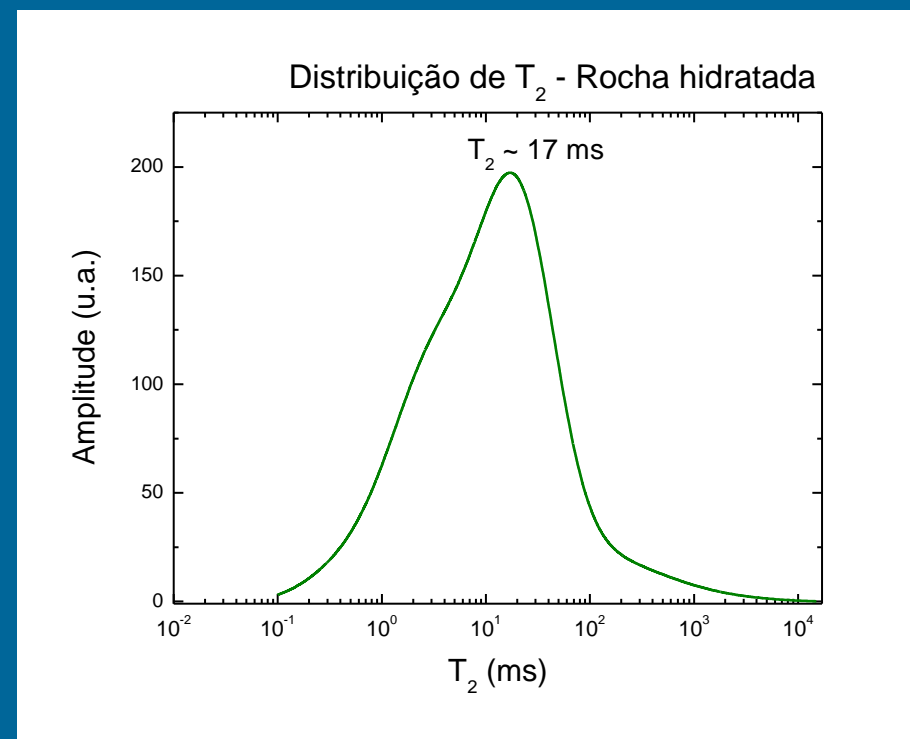
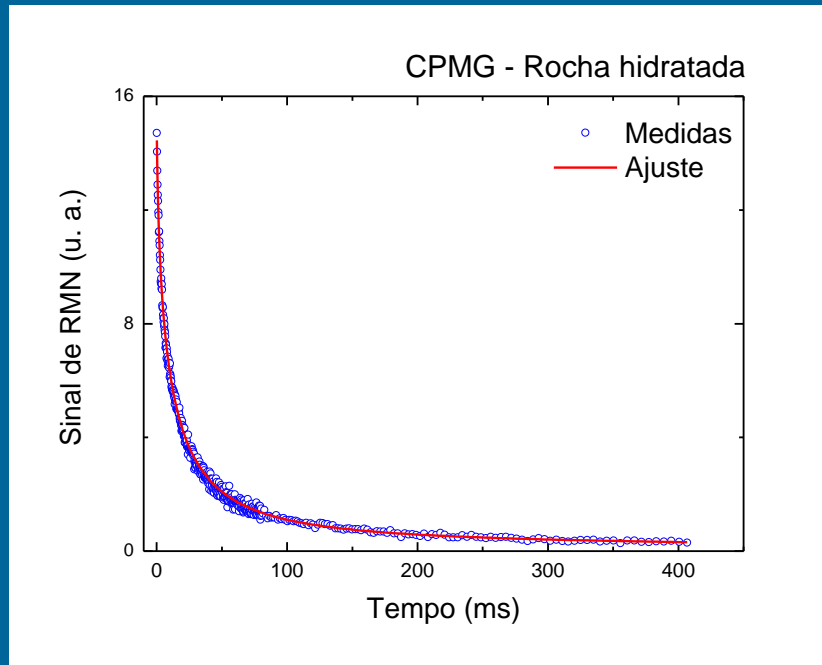


# Relaxometria por RMN de $^1\text{H}$



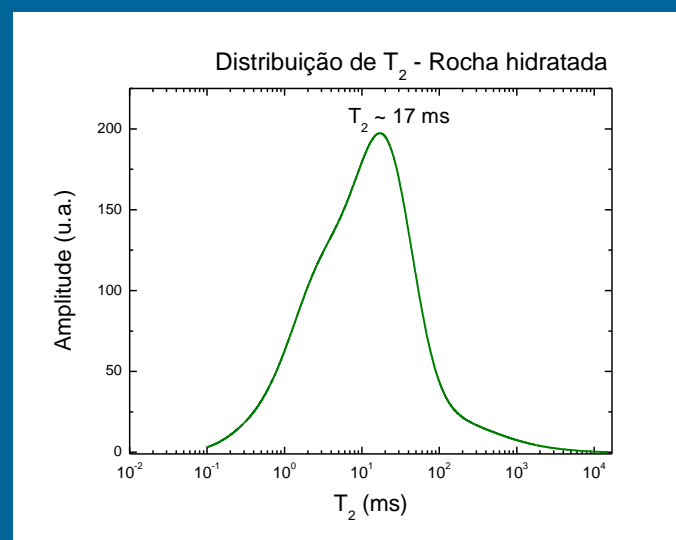
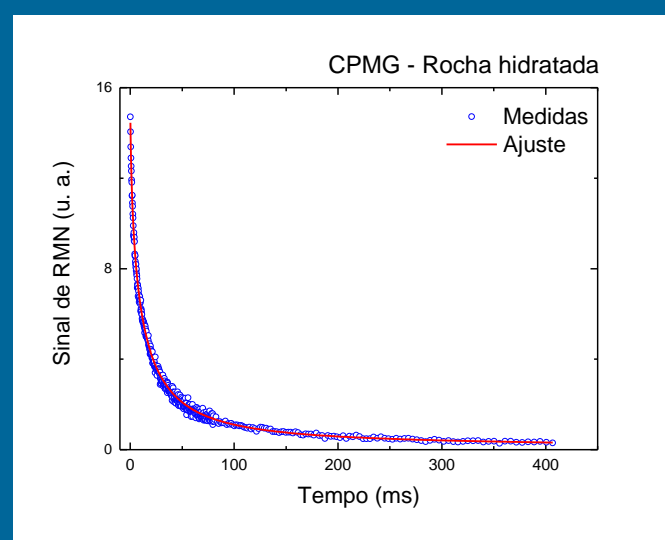
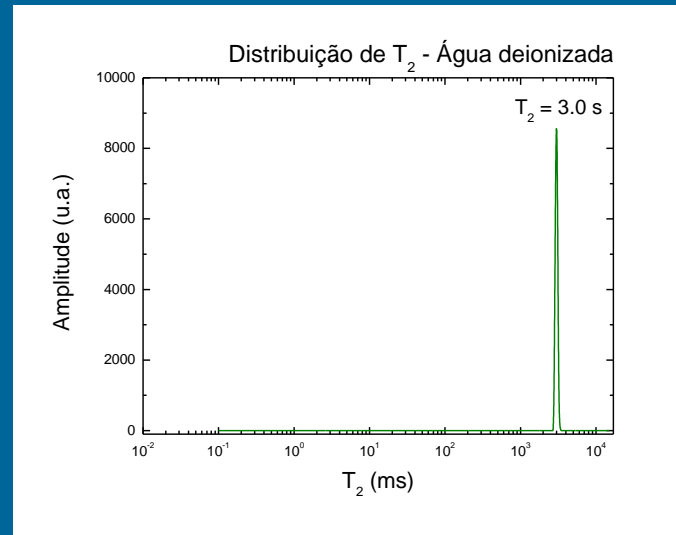
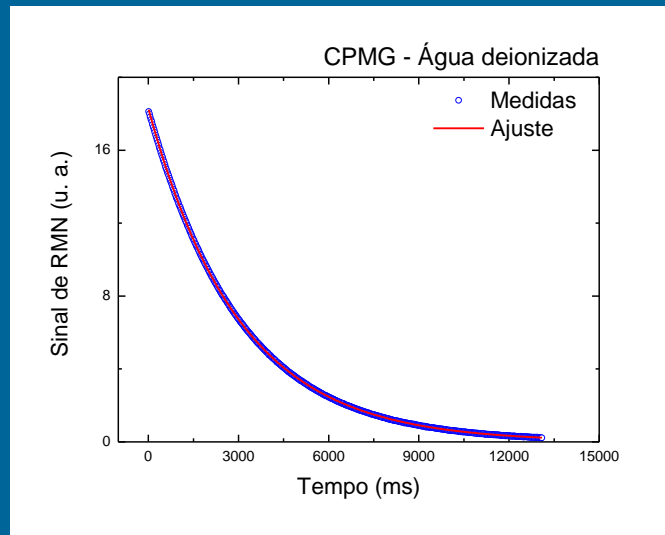
$$f_L = 2,0\text{ MHz}; B_0 = 47\text{ mT}$$

# Relaxometria por RMN de $^1\text{H}$



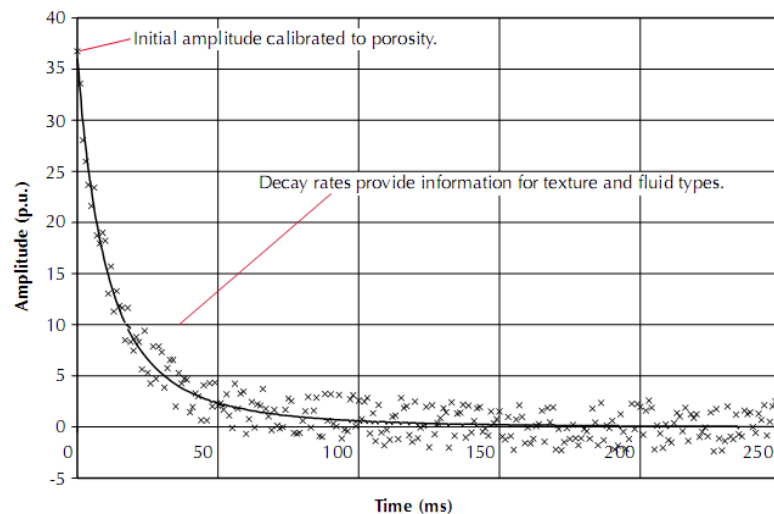
$$f_L = 2,0 \text{ MHz}; B_0 = 47 \text{ mT}$$

# Relaxometria por RMN de $^1\text{H}$



# Aplicações em petrofísica

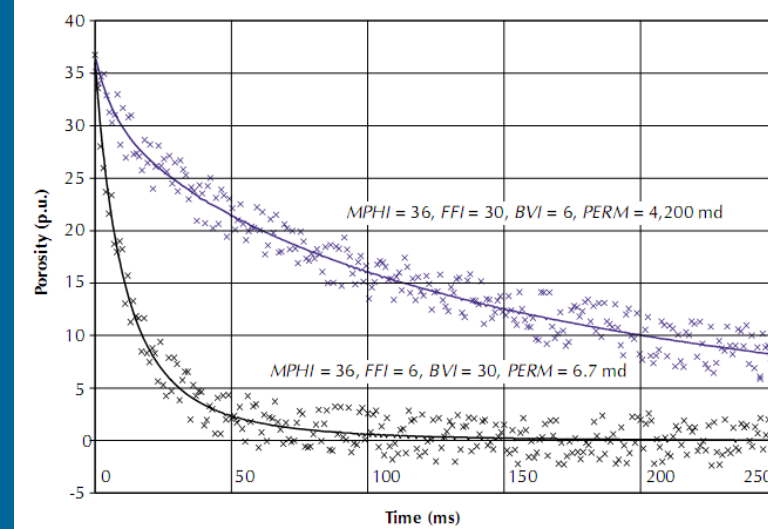
**Figure 1.4**—The decay of a spin-echo train, which is a function of the amount and distribution of hydrogen present in fluids, is measured by recording the decrease in amplitude of the spin echoes over time. Petrophysicists can use decay-rate information to establish pore-fluid types and pore-size distributions. In this example, the spin echoes are recorded at 1-ms inter-echo spacing. The discrete points in this figure represent the raw data, and the solid curve is a fit to that data.



## NMR Logging Principles and Applications

George R. Coates, Lizhi Xiao, and Manfred G. Prammer

**Figure 1.10**—Two echo trains were obtained from formations with different permeability. Both formations have the same porosity but different pore sizes. This difference leads to shifted  $T_2$  distributions, and therefore to different values of the ratio of  $MFFI$  to  $BVI$ . The permeabilities computed from the Coates model ( $k = [(MPHI/C)^2(MFFI/BVI)]^2$ , where  $k$  is formation permeability and  $C$  is a constant that depends on the formation) also are indicated in the figure.

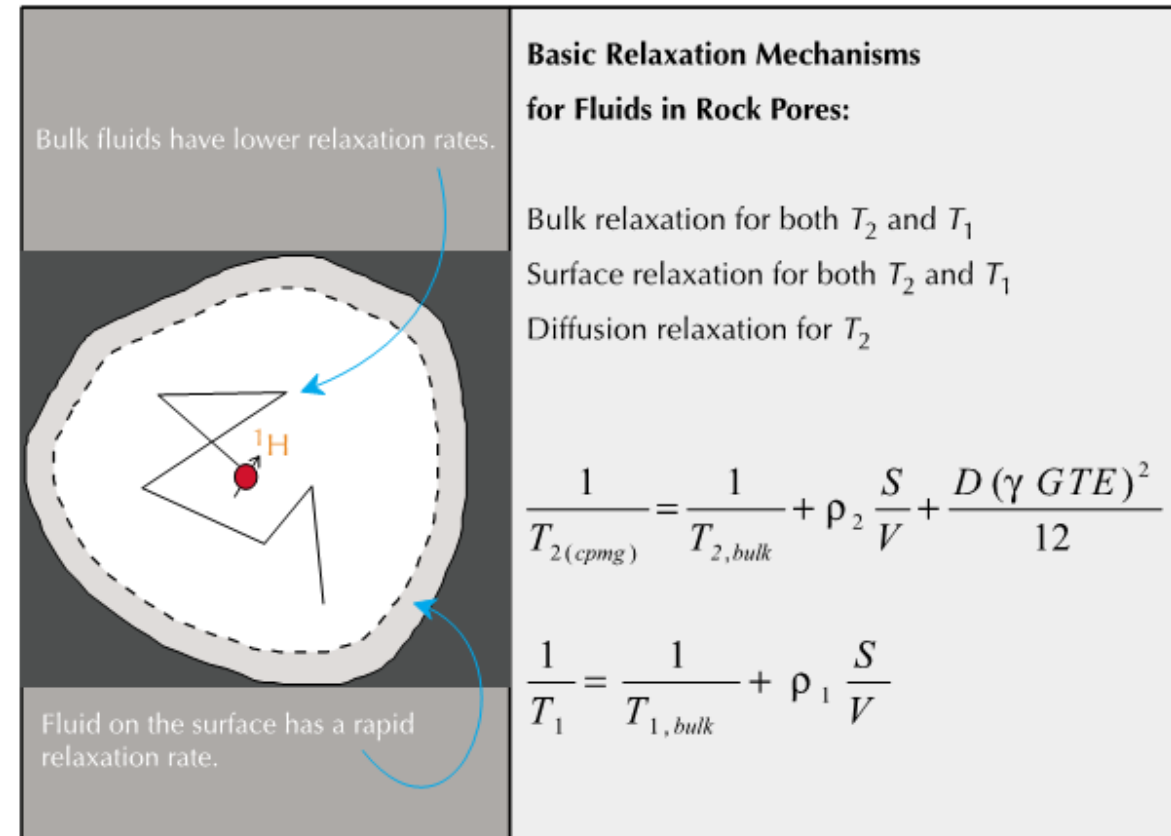


# Aplicações em petrofísica

**Figure 3.1**—The relaxation of pore fluids is due to bulk, surface, and diffusion mechanisms.

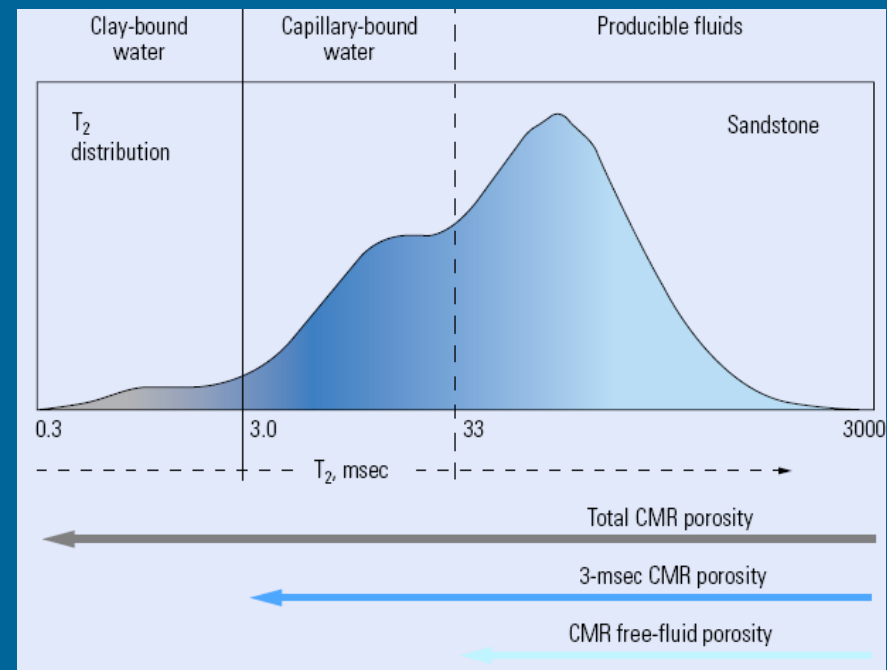
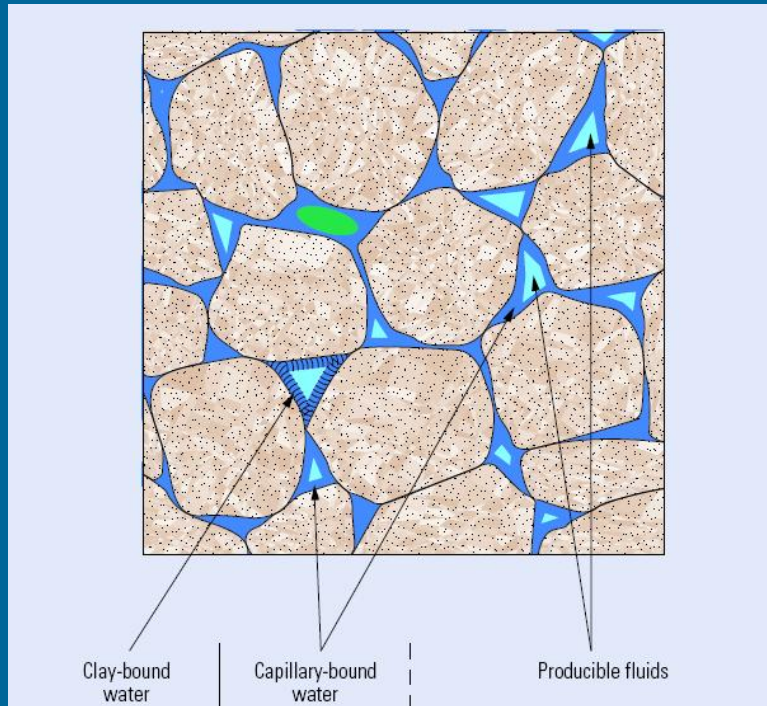
## NMR Logging Principles and Applications

George R. Coates, Lizhi Xiao, and Manfred G. Prammer

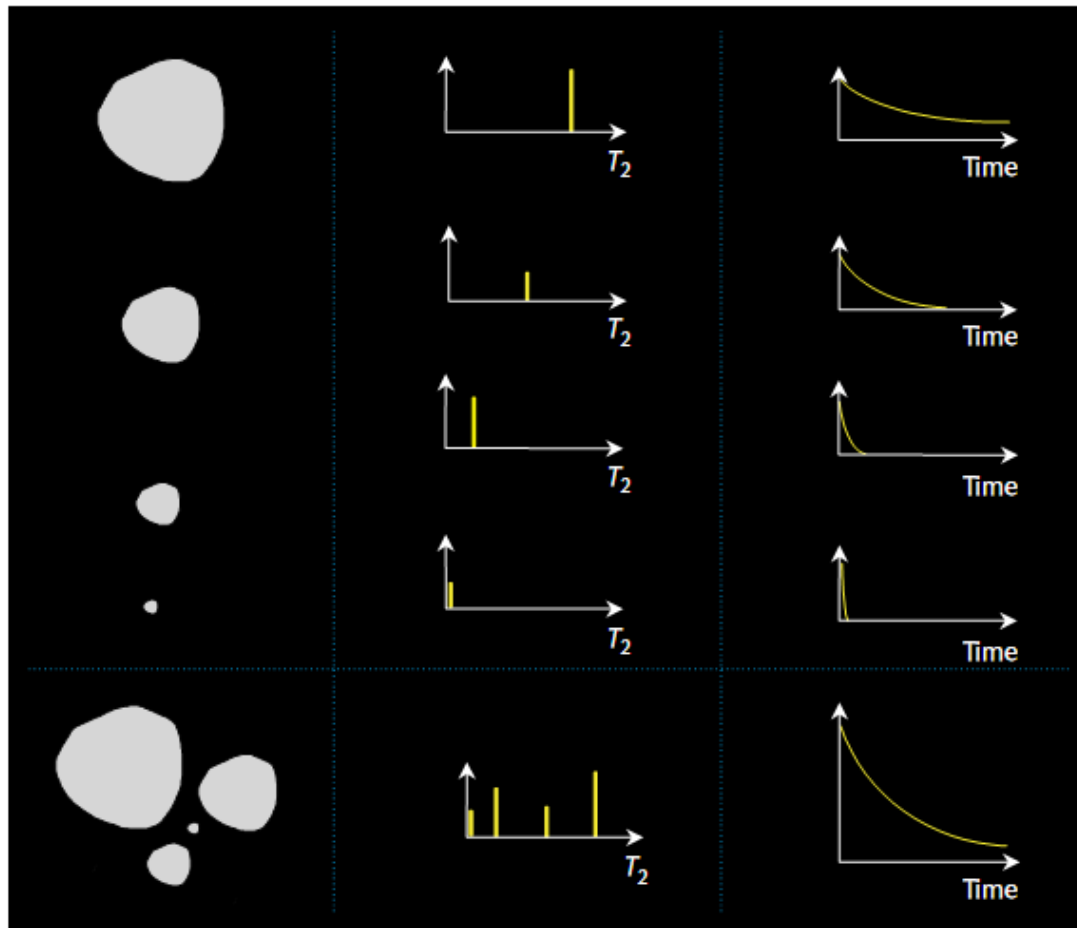


cm000851

# Aplicações em petrofísica



# Aplicações em petrofísica

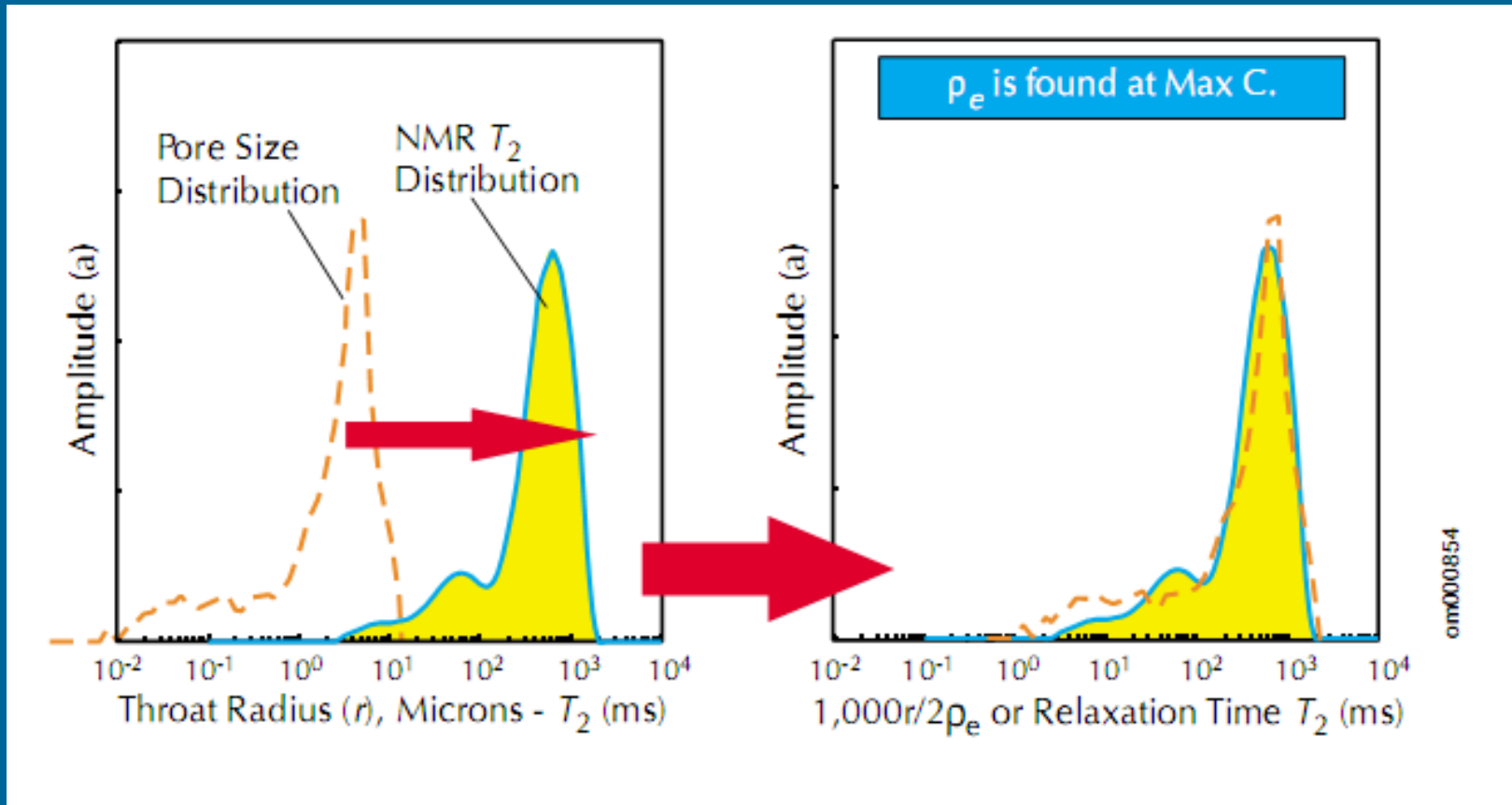


**Figure 3.2**—A 100% water-saturated pore (upper left) has a single  $T_2$  value (upper center) that depends on pore size, and thus its spin-echo train exhibits a single-exponential decay (upper right) that also depends on pore size. Multiple pores at 100% water saturation (bottom left) have multiple  $T_2$  values (bottom center) that depend on the pore sizes, and thus their composite spin-echo train exhibits multi-exponential decay (bottom right) that also depends on the pore sizes.

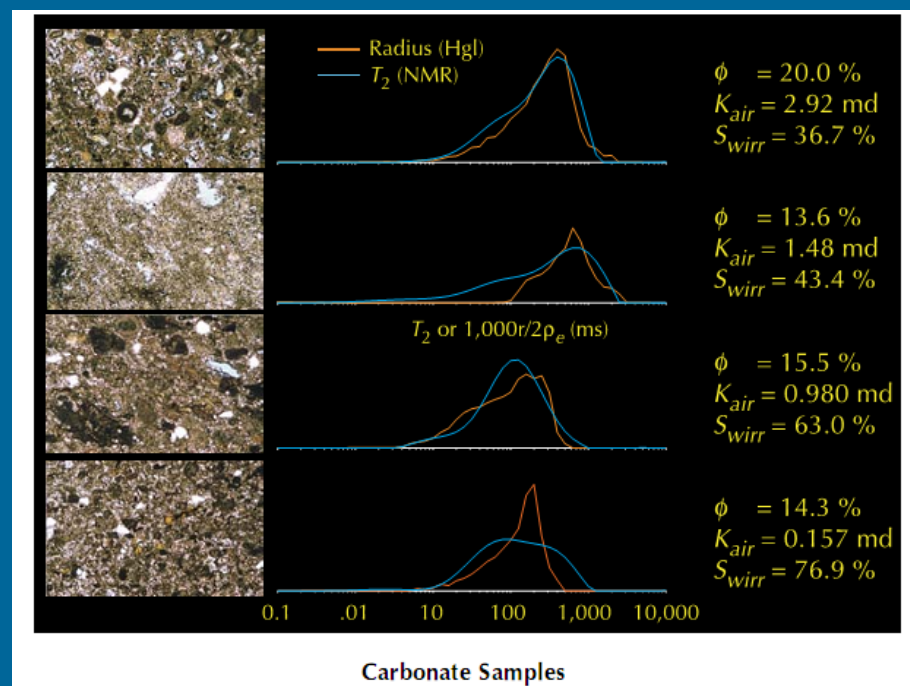
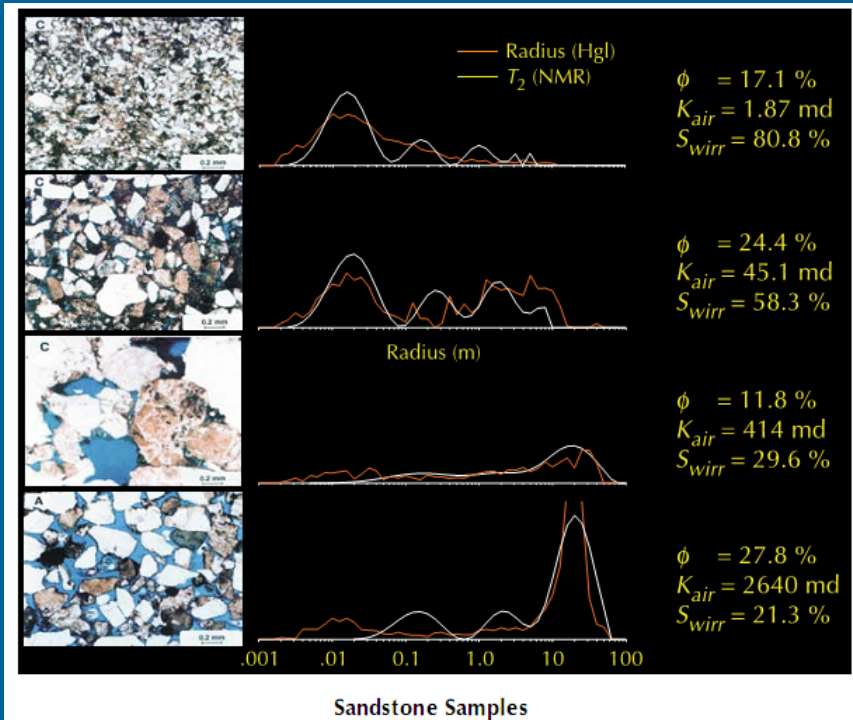
## NMR Logging Principles and Applications

George R. Coates, Lizhi Xiao, and Manfred G. Prammer

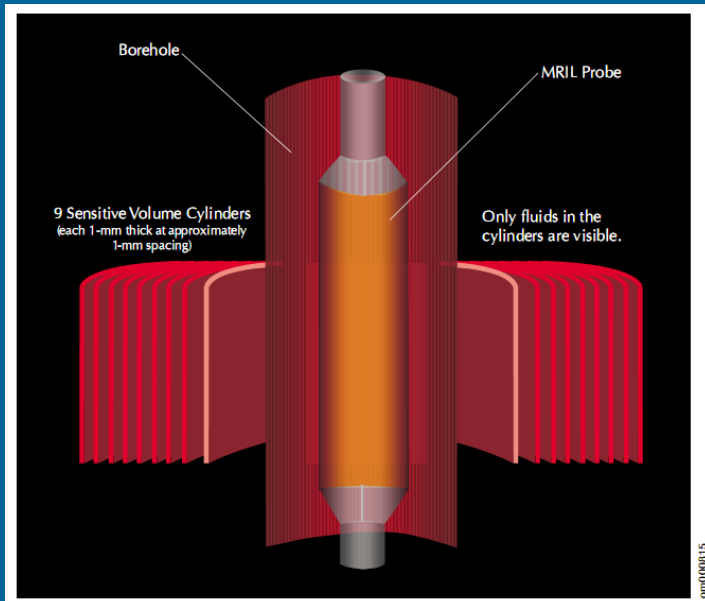
# Distribuição de $T_2$ e de tamanhos de poros



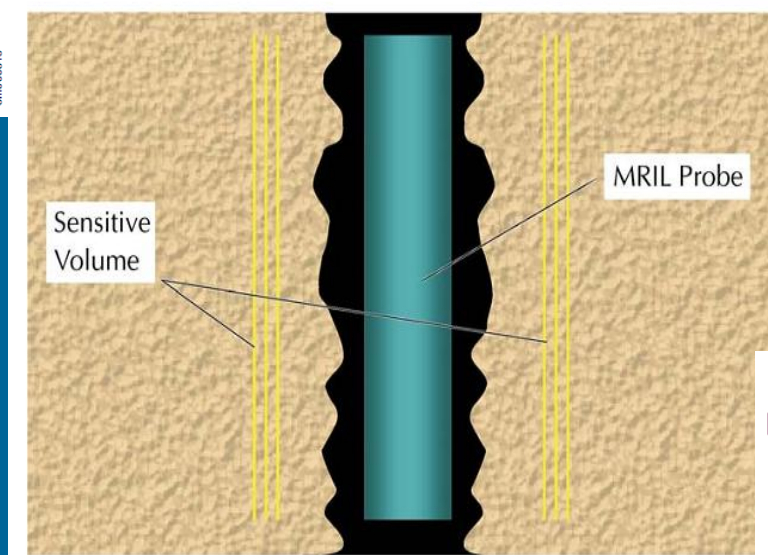
# Distribuição de $T_2$ e de tamanhos de poros



# Aplicações em perfilagem de poços de petróleo



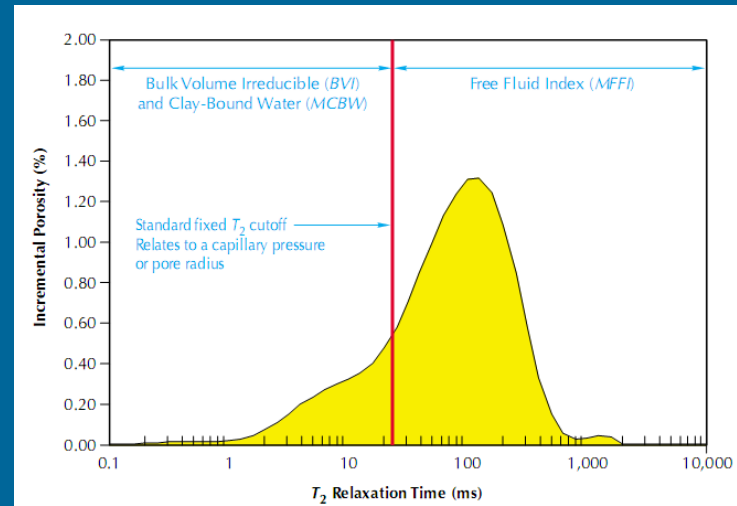
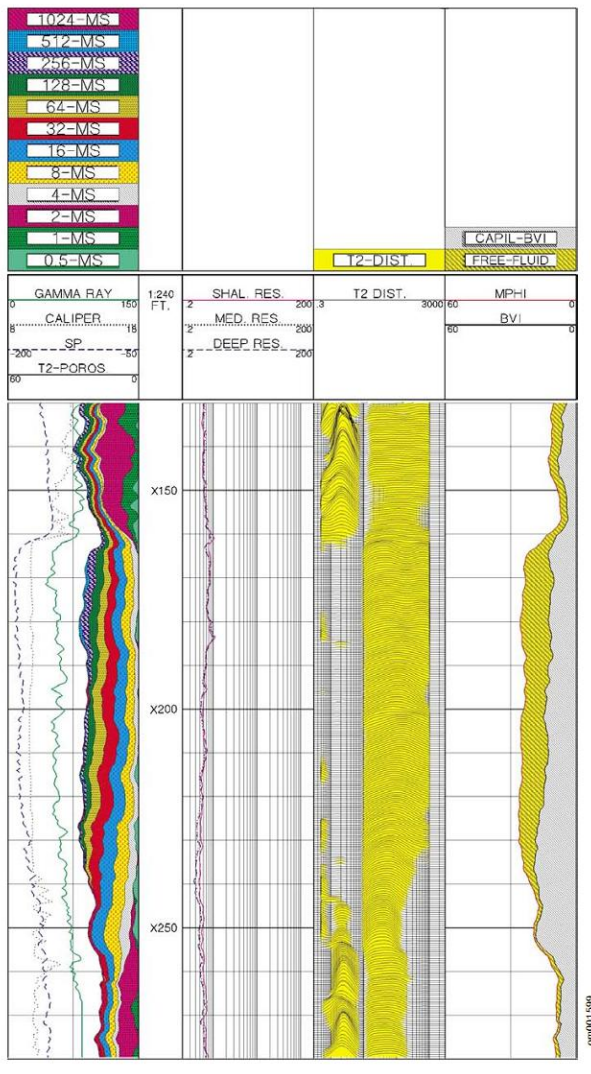
**Figure 1.2**—The MRIL-Prime tool can be operated at nine separate frequencies. The use of multiple frequencies allows independent information to be obtained from multiple concentric cylinders, thereby improving the signal-to-noise ratio, enabling faster logging speeds, and permitting different pulse-timing sequences for complex data acquisition.



**Figure 1.22**—The depth of investigation of an MRIL tool is about 18 in. when operating at low frequency and about 16 in. at high frequency. Thus, in a 12-in. borehole, rugosity with an amplitude smaller than 2 in. will not affect the MRIL signal.

# Aplicações em perfilagem de poços de petróleo

**Figure 1.9**—This Gulf of Mexico silty-sand formation illustrates the variability of *BVI* (Track 4). A coarsening-upward sequence from X160 to X255 is apparent based upon the increase of *BVI* and gamma ray with depth. If the free fluid were predominantly hydrocarbon, then the increased irreducible water deeper in the interval would account for the observed reduction in the logged resistivity. What appears at first sight to be a transition zone from X190 to X255 could actually be just a variation of grain size with depth.

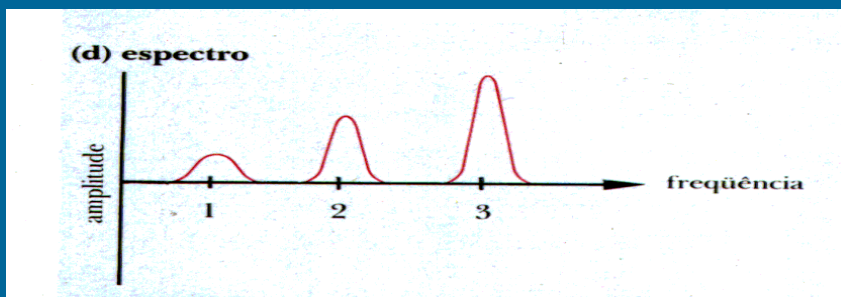
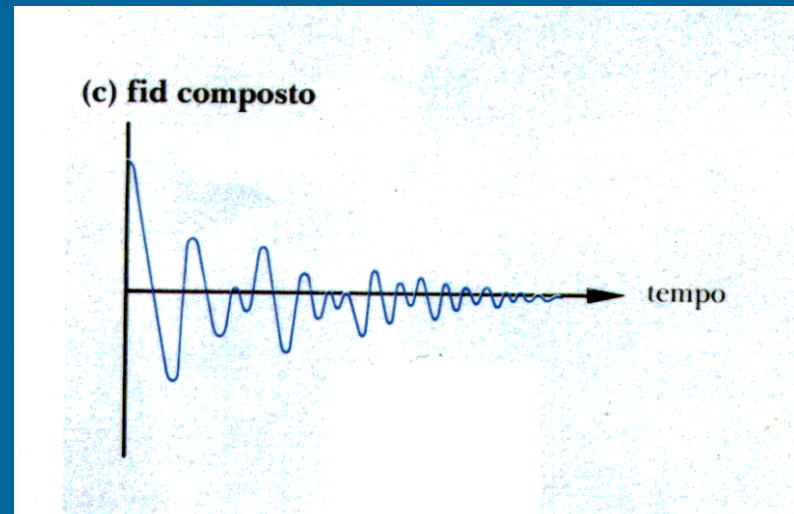
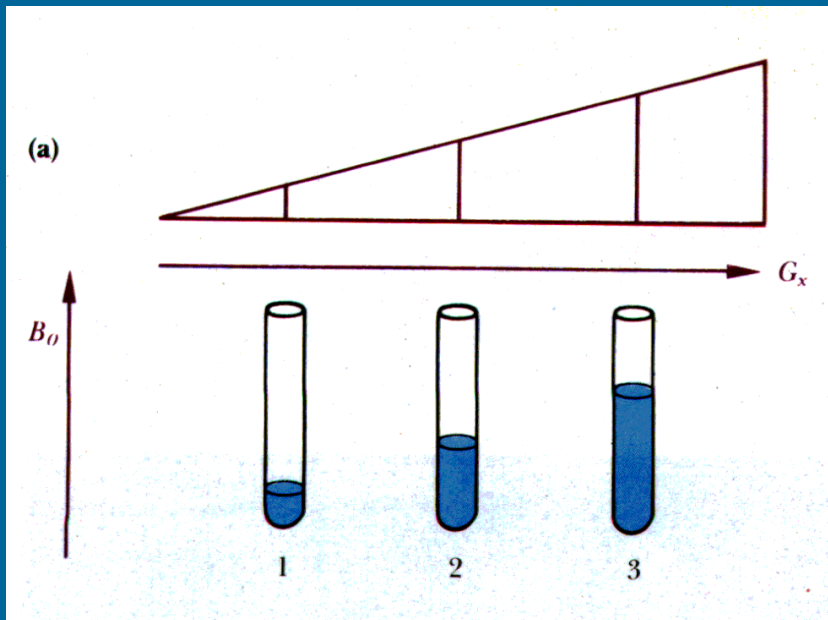


# NMR Logging Principles and Applications

George R. Coates, Lizhi Xiao, and Manfred G. Prammer

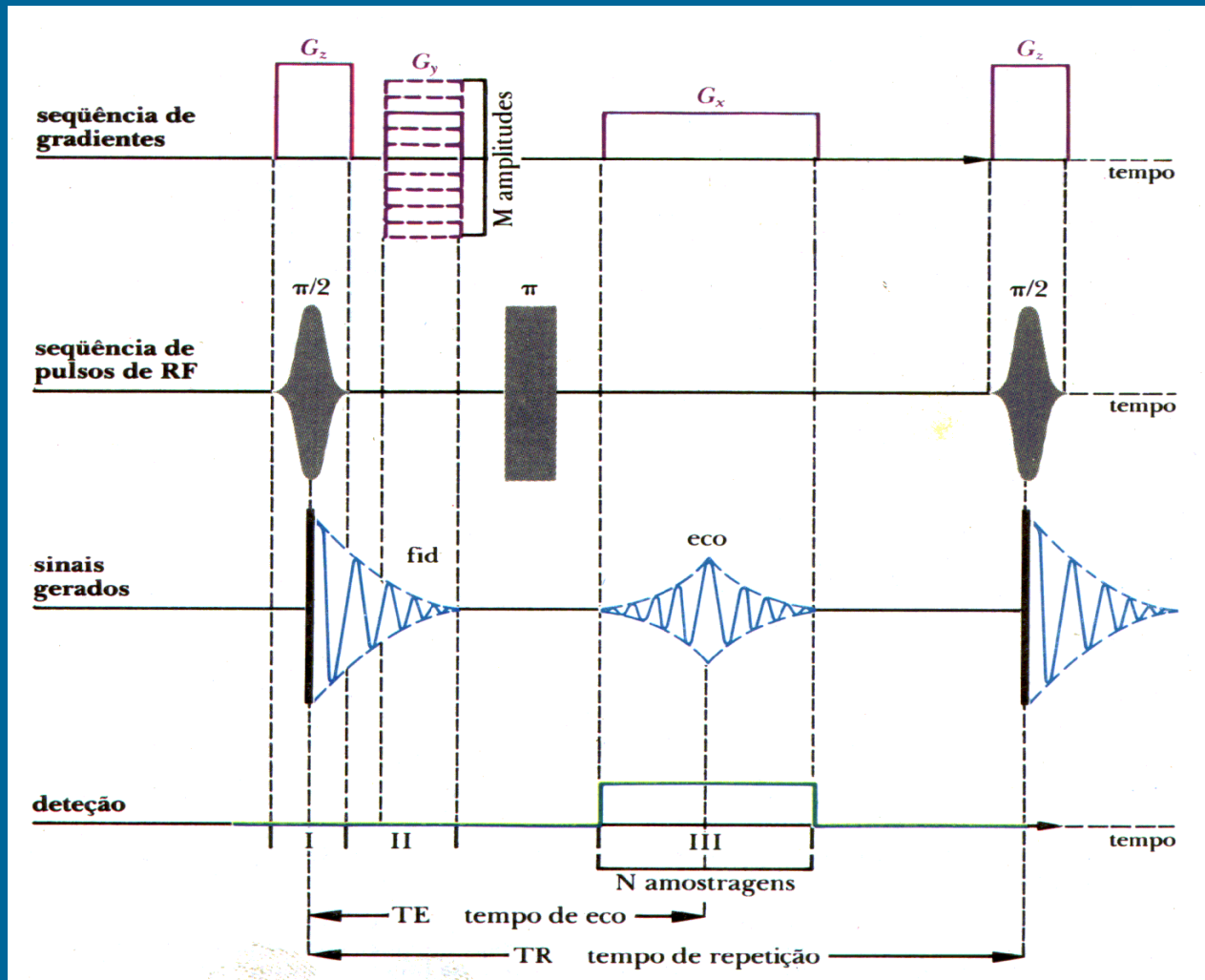
# Formação de imagens por RMN (MRI)

- Utilização de gradientes de campo magnético:



- Discriminação espacial de freqüências.
- Distribuição de densidade de prótons.

# Seqüência de pulsos – TF 2D

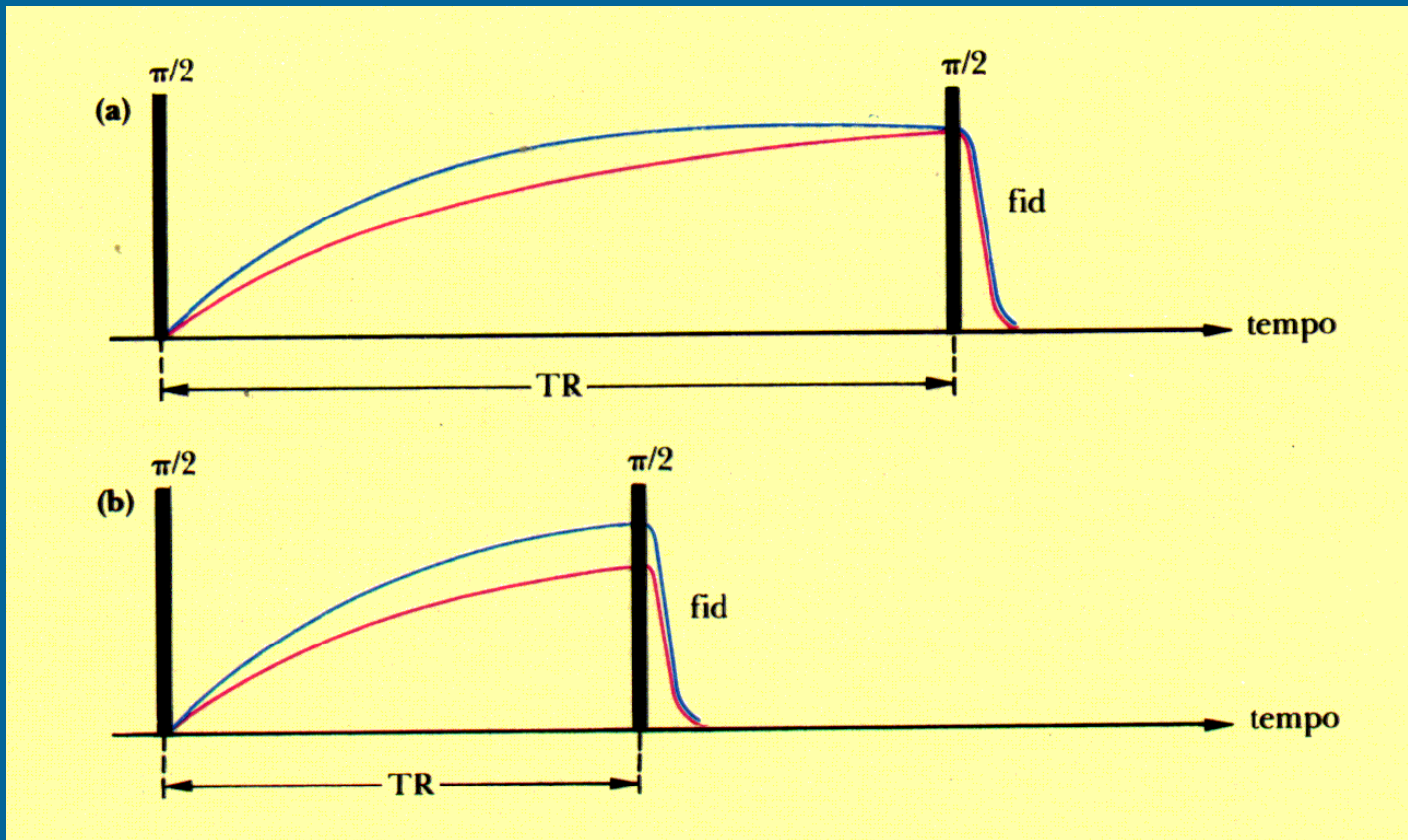


# Técnicas de contraste

- Contraste pela densidade de prótons.
- Contraste por  $T_1$  (relaxação longitudinal).
- Contraste por  $T_2$  (relaxação transversal).

	$T_1$ (s) Tumoral	$T_1$ (s) Normal
Tórax	1,08	0,37
Pele	1,05	0,62
Fígado	0,83	0,57
Pulmão	1,11	0,79
Próstata	1,11	0,80
Ossos	1,03	0,55

# Contraste por $T_1$



Métodos: saturação/recuperação; inversão/recuperação; spin-eco

# Exemplo de contraste por $T_1$



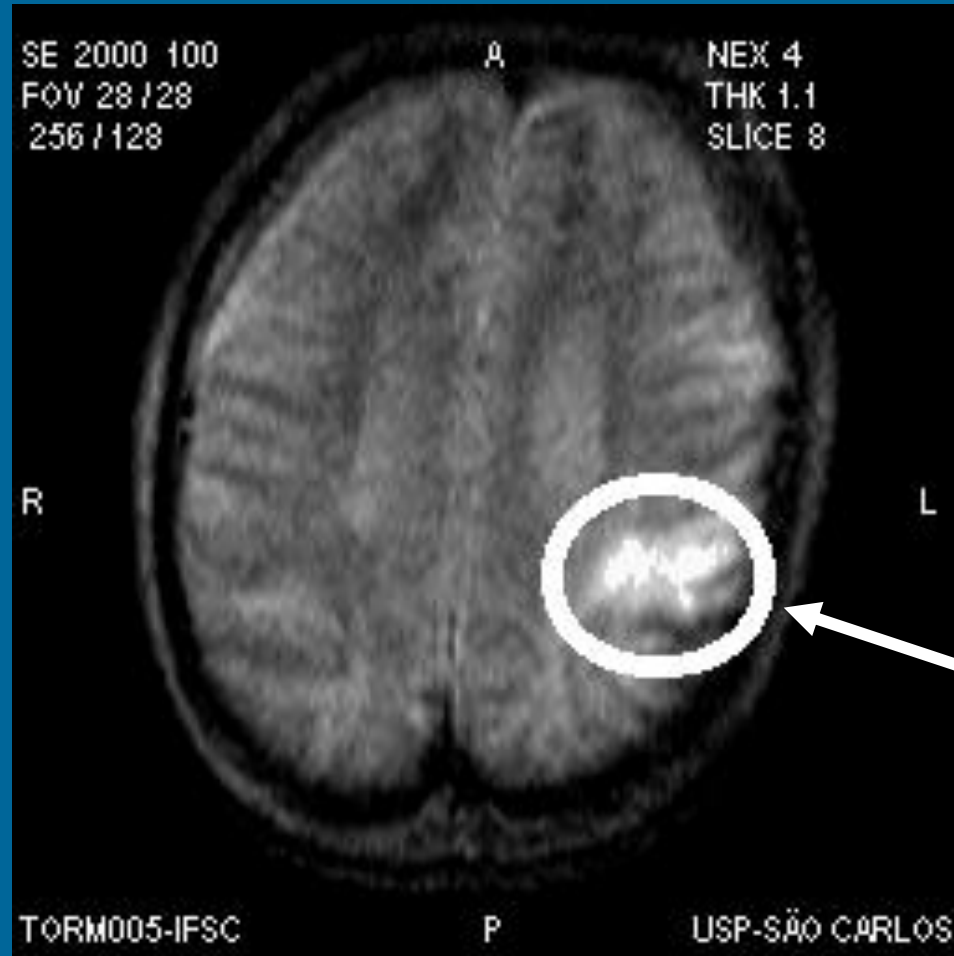
<http://mri.if.sc.usp.br>

# Exemplo de contraste por $T_1$



<http://mri.if.sc.usp.br>

# Exemplo de contraste por $T_2$



(corte transversal)

<http://mri.if.sc.usp.br>

# Comparação entre diferentes contrastes

Densidade



$T_1$



$T_2$



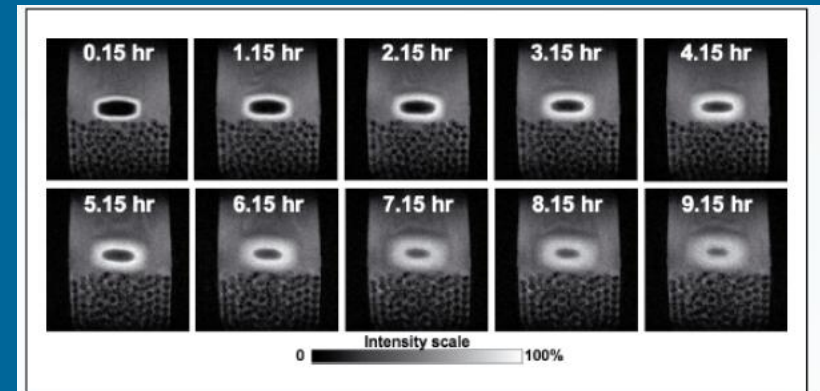
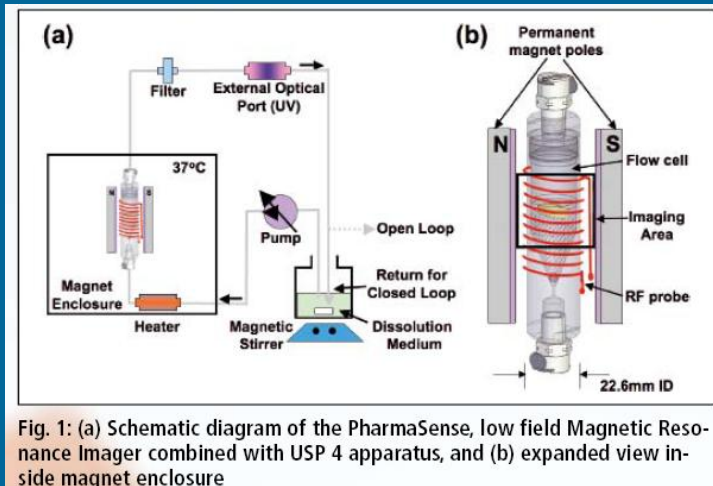
<http://mri.if.sc.usp.br>

# MRI aplicada ao estudo de fármacos

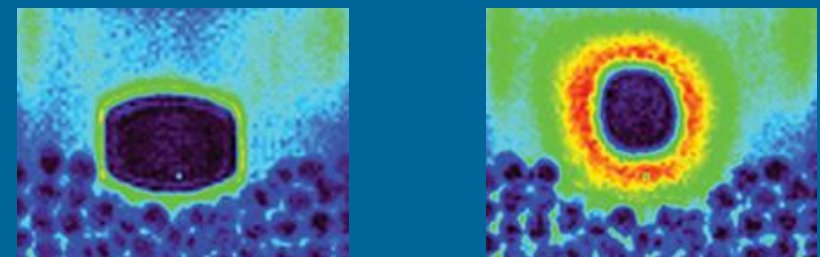
## Visualising Tablet Dissolution

### Measurement of Hydration and Drug Release

Reprint from G.I.T. Laboratory Journal 9-10/2008, pp 42–43, GIT VERLAG GmbH & Co. KG, Darmstadt, Germany, [www.gitverlag.com](http://www.gitverlag.com)



**Oxford Instruments Molecular Biotools Ltd. (OIMBL)**  
Tubney Woods, Abingdon, Oxon OX13 5QX  
Tel: +44 (0) 1865 393 200  
Fax: +44 (0) 1865 393 333  
E-mail: [molecularbiotools@oxinst.com](mailto:molecularbiotools@oxinst.com)  
[www.oxford-instruments.com](http://www.oxford-instruments.com)



# Aplicações ao estudo de alimentos

- ❑ Presença de poros em queijos.
- ❑ Determinação da fração cristalina em margarinas.
- ❑ Existência de defeitos em frutas e legumes.
- ❑ Difusão e retenção de água em géis (especialmente em leites e derivados).
- ❑ Processos de transformação em produtos alimentares (fritura, congelamento, etc.).
- ❑ Determinação de teores de gordura em sementes, carnes, etc.

# RMN aplicada ao estudo de alimentos

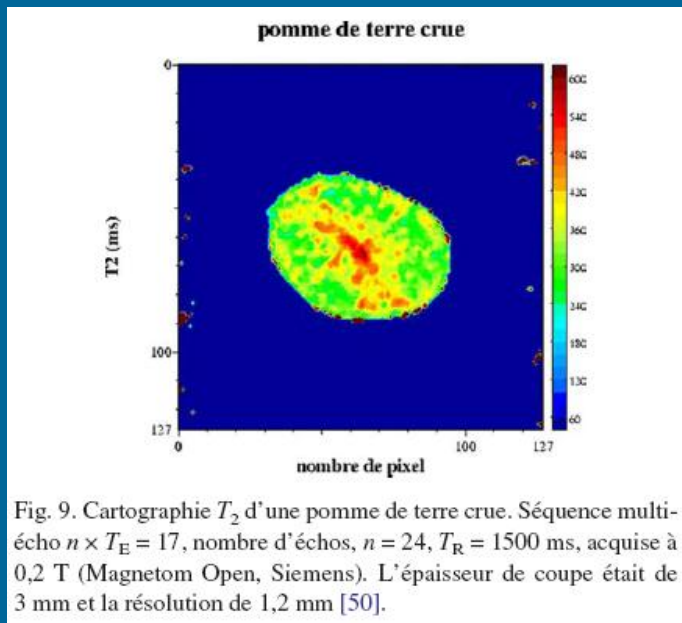


Fig. 9. Cartographie  $T_2$  d'une pomme de terre crue. Séquence multi-écho  $n \times T_E = 17$ , nombre d'échos,  $n = 24$ ,  $T_R = 1500$  ms, acquise à 0,2 T (Magnetom Open, Siemens). L'épaisseur de coupe était de 3 mm et la résolution de 1,2 mm [50].

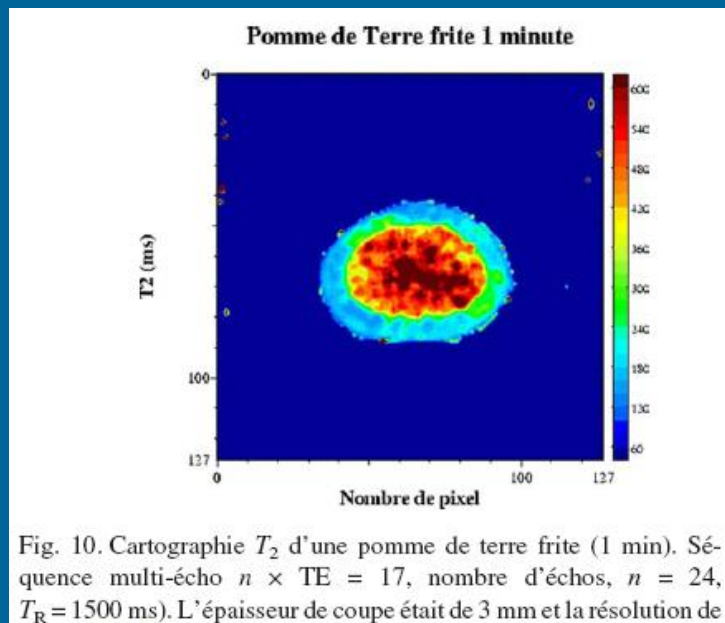


Fig. 10. Cartographie  $T_2$  d'une pomme de terre frite (1 min). Séquence multi-écho  $n \times TE = 17$ , nombre d'échos,  $n = 24$ ,  $T_R = 1500$  ms. L'épaisseur de coupe était de 3 mm et la résolution de 1,2 mm [50].

Tableau 2

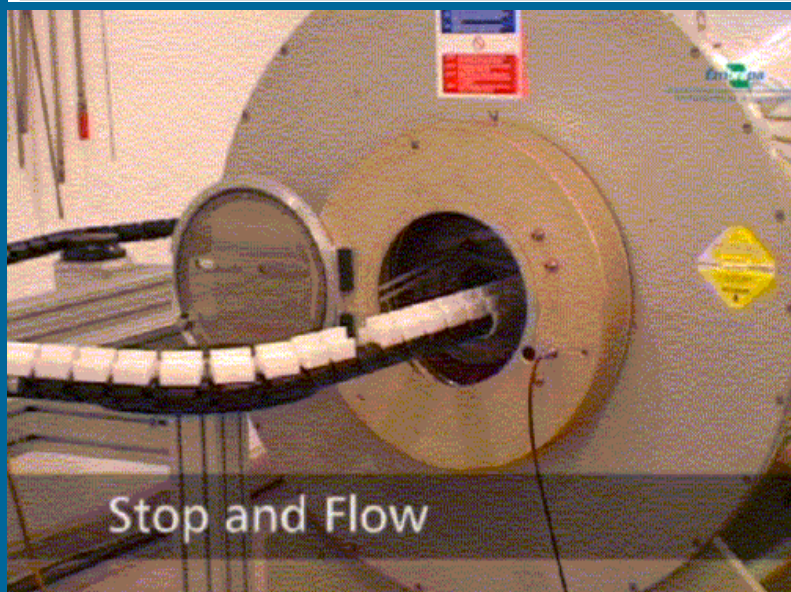
Temps de relaxation (ms) et amplitude (%) calculés à partir de la courbe de relaxation spin–spin d'une pomme de terre crue [50]. Les écarts types sont calculés avec cinq répétitions

Composante de relaxation	$T_{2i}$ (ms)	$A_i$ (%)
Eau dans le grain d'amidon	$4 \pm 1$	$12 \pm 4$
Eau dans le cytoplasme	$184 \pm 32$	$27 \pm 13$
Eau dans la vacuole	$563 \pm 51$	$61 \pm 17$

F. Mariette / C. R. Chimie 7 (2004) 221–232

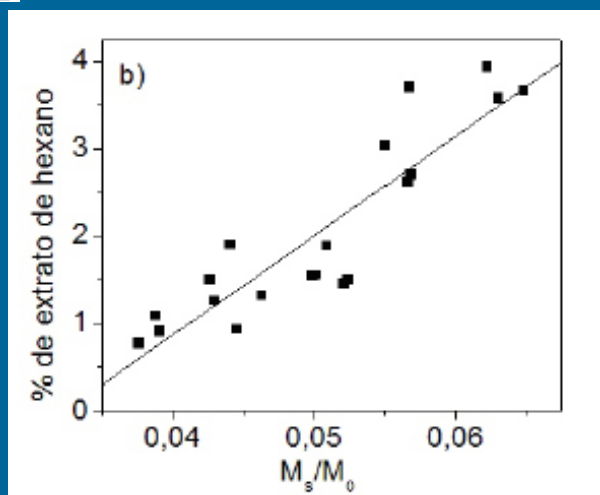
# RMN aplicada ao estudo de alimentos

**Um novo método de Ressonância Magnética Nuclear para análise da gordura intramuscular de carne bovina**



O CWFP permite analisar cerca de 20 amostras embaladas ( $\sim 1\text{kg}$ ) separadas por 20 cm em aproximadamente 1 minuto. Isso representa um potencial para se analisar mais de 1000 amostras por hora.

Luiz Alberto Colnago  
Farmacêutico, Dr., Pesquisador  
Embrapa Instrumentação  
Agropecuária, C.P. 741,  
CEP 13560-970, São Carlos, SP  
colnago@cnpdia.embrapa.br



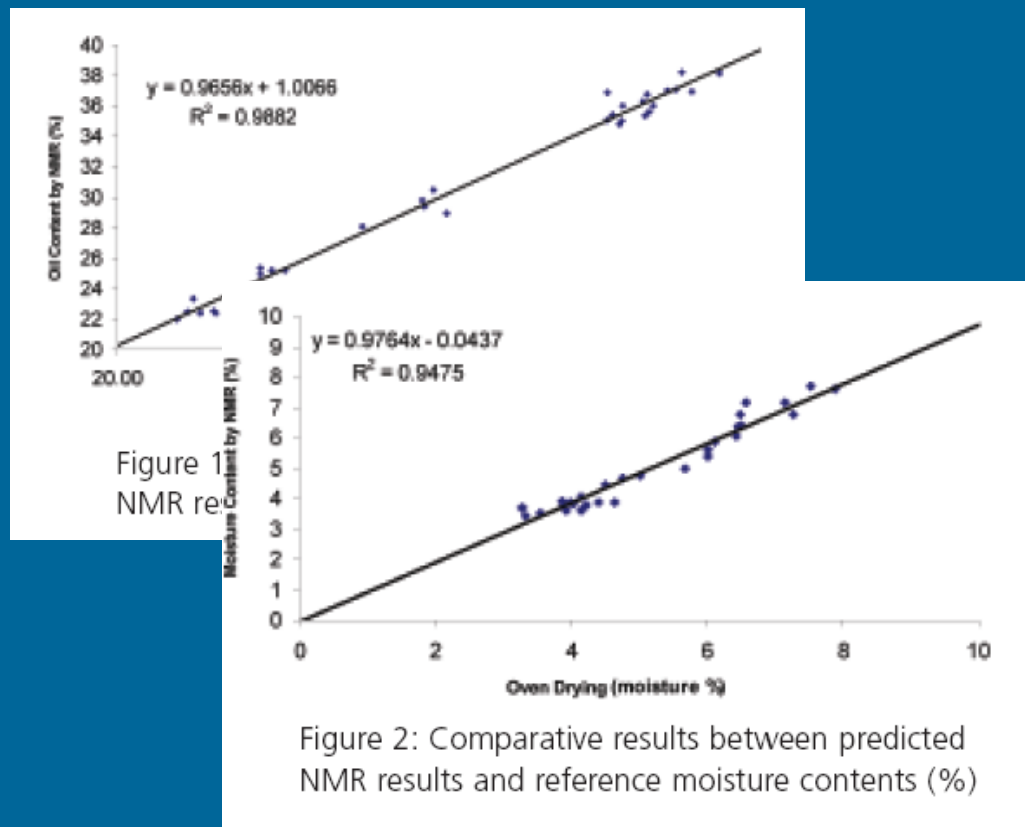
**Circular  
Técnica, 42**

Exemplares desta edição podem ser adquiridos na:  
Embrapa Instrumentação Agropecuária  
Rua XV de Novembro, 1542 - Caixa Postal 741  
CEP 13560-970 - São Carlos-SP  
Fone: 16 2107 2800 - Fax: 16 2107 2902  
e-mail: sac@cnpdia.embrapa.br  
<http://www.cnpdia.embrapa.br>  
1a. edição  
1a. impressão 2008: tiragem 300

Ministério da  
Agricultura, Pecuária  
e Abastecimento  
**BRASIL**  
GOVERNO FEDERAL

# RMN aplicada ao estudo de alimentos

## Determination of Oil and Moisture Content in Fish Feed



## Application Note 4

OXFORD  
INSTRUMENTS

# Bibliografia recomendada

- Aplicações em petrofísica:
  - “**NMR Logging: Principles and Applications**”, G. Coates, L. Xiao, M. G. Prammer, Halliburton Energy Services, 1999.
- Aplicações na ciência de alimentos:
  - “**Magnetic resonance imaging in food science**”, B. Hills. Wiley, 1998.
- Imagens por RMN:
  - “**Novas Imagens do Corpo**”, H. Panepucci et al. *Ciência Hoje*, 4, 46-56, 1985.